音波・電磁波の反射特性による高機能舗装の空隙評価に関する研究

日本道路公団試験研究所 正会員 山本 稔 (株パスコ 正会員 谷黒 亘 (株)ウォールナット 正会員 稲垣 正晴 小野測器株) 正会員 三神 圭司

1. はじめに

高機能舗装(排水性舗装)の排水性向上や騒音低減といった優れた機能は,空隙詰まり等によって時間とともに変化する。そこで,本舗装を維持管理していく上で,機能の変化の程度を効率的に評価するため,音波や電磁波を搭載した測定車による評価手法の開発に取組んでいる。本論文は,経時的な変化に伴う舗装体内部の空隙詰まり状態を診断することを目的に,模擬供試体及び高速道路での透水試験と本手法との比較検証を行った結果について述べる。

2. 空隙詰まりの違いよる検証

2-1 供試体による室内試験

高機能舗装の空隙詰まり状況に対し、非破壊手法により測定可 能か検証するため,表1に示す3種類の模擬供試体による試験を 実施した。試験に用いた周波数は,スピーカ音が1.25-1.6KHz,電磁 波が 750MHz, 超音波が低音域の 5-8KHz である。閉塞条件による デ-タの違いを明確にするため,縦軸を電磁波比誘電率,超音波吸 音率, スピーカ反射音の各特性値の最大値を 100%とした変化率, 横 軸を試験項目別の閉塞条件で比較したものを図1に示す。完全閉 塞は空隙部全層に土砂を充填したもので透水量 103ml/15 秒と最 も小さく,次いで上層閉塞は上面の2.5cmに土砂を充填したもの で 284 mI/15 秒 , 閉塞無しが 1333 mI/15 秒となった。 スピーカ音は 閉塞条件による変化率が小さく,空隙詰まり箇所を特定すること は困難である。一方,電磁波と超音波では変化率が大きく,舗装 体内部の空隙詰まり程度を把握できると考えた。そこで、周波数 の挙動の関係から空隙詰まり箇所を判定するため,電磁波は 750MHz と 1.5GHz 超音波は低音域の 2.5-4KHz と 5-8KHz の複数の 周波数を用い分析した。電磁波による結果は図2のとおり,各周 波数とも理論値と実測値が相似しており2つの比誘電率の分布か ら中層,下層閉塞以外は内部状況の違いが確認できた。超音波に よる結果は図3のとおり、第1の判断として5-8kHz帯域を確認す ることで、路面の上層の詰まり状況が判断し、次に第2の判断と して 2.5-4kHz 帯域の結果を確認することで 閉塞無しに比べ中層 及び下層閉塞の吸音特性値が低下していることから,より深層の 詰まり状況が把握できる。 つまり ,2.5-4kHz の帯域を見ることで , 5-8kHz の帯域で判断した上層の大別分類を,表層部の上層から下 層を含む全層まで細分類が可能となった。

表1 模擬供試体の概要

現場透水量電磁波比超音波吸スピーカ反

	Þ	月基余件	(ml/15秒)		誘電率		音率(%)		射音(dB)		3)
	閉塞無し		1333		3.78		49.7		101		01
	上層閉塞		284.4		6.11		27		102.1		
	完全閉塞		103.1		6.7		17.8		102.6		
変化率(%)	80 60 40					 					

■ 完全閉塞 □ 上層閉塞 □ 閉塞無し

超音波

スト°ーカ

電磁波

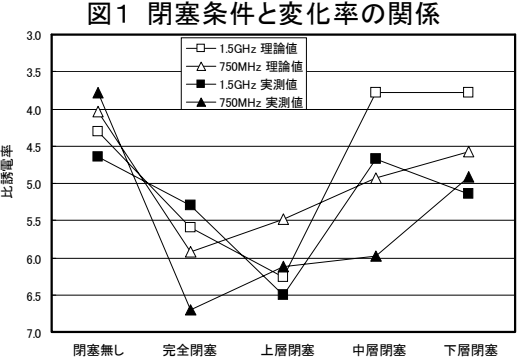


図2 供試体内部の空隙診断図(電磁波)

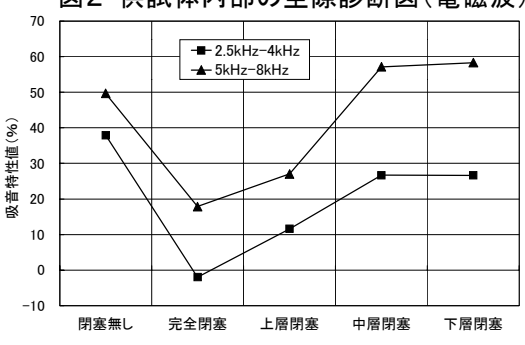
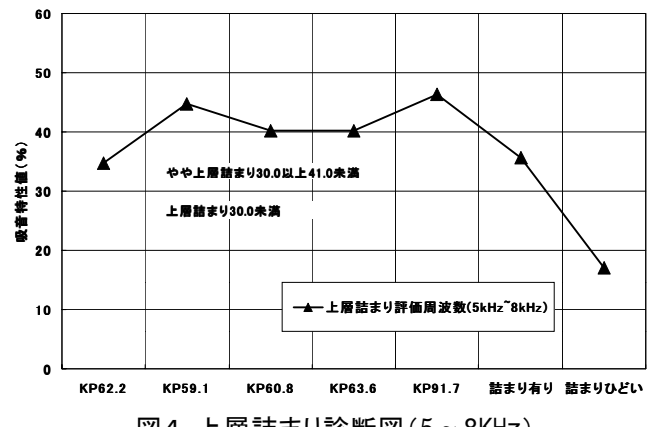


図3 供試体内部の空隙診断図(超音波)

2-2 高速道路での現地試験

東名と中央道廃道で採取したコア目視観察による空隙詰まり状況と電磁波(750MHz,1.5GHz)及び超音波(2.5-4KHz,5-8KHz)の分析結果から得られた内部診断結果を比較検証した。



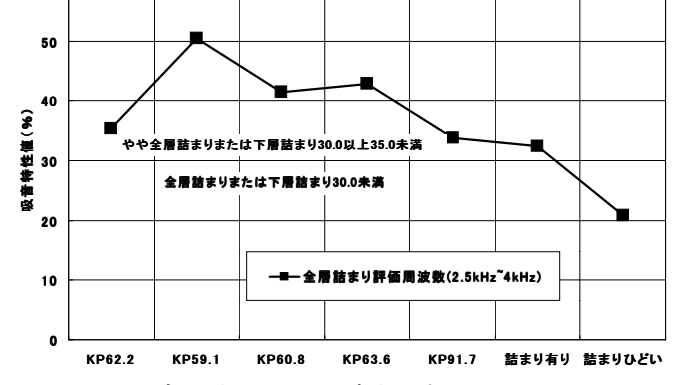


図4 上層詰まり診断図(5~8KHz)

図5 全層または下層詰まり診断図(2.5~4KHz)

表2 空隙詰まり状況評価表

場 所	分析箇所	施工 年度	現場透水量 (ml/15秒)	コア目視観察	電磁波判定	超音波判定
東名	KP62. 2	Н9	628	上詰or均等	下詰	上詰
	KP59. 1	H10	1203	健全	やや上詰	健全
	KP60. 8	Н6	828	やや上詰	上詰	やや上詰
	KP63. 6	H5	466	均等	健全	やや上詰
	KP91. 7	H10	1189	健全	健全	やや下詰
廃	詰まり有り	Н6	194	均等	やや上詰	やや均等
道	詰まりひどい	Н6	28	均等	均等	均等

図4は超音波による評価周波数を 5-8KHz とし,吸音特性値 30%以上~41%未満と 30%未満を境に上層詰まりを評価した。図5は評価周波数を 2.5-4KHz とし,吸音特性値 30%以上~35%未満と 30%未満を境に全層または下層詰まりを評価した。図6は2つの波長領域における電磁波によるダイヤグラムで,中央線が

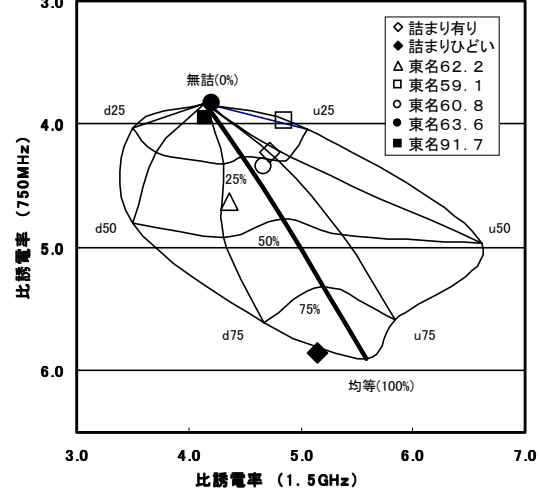


図6 電磁波詰まり箇所ダイヤグラム

空隙詰まりの均等な状態を示しており、比誘電率が小さくなるほど健全な状態とみなされ、25%以下であれば「やや詰まり」となる。 d 75 は下層部から 75%が詰まっており放射上の数字はその閉塞率を示している。 62.2KP は下層部の 75%が 4 割程度閉塞した状態である。 図 4 から図 6 により評価した空隙詰まり状況と取目視観察したものとの比較を表 2 に示す。 IV目視観察 , 電磁波 , 超音波とも現場透水量が 1000 ml/15 秒を超えている 59.1KP と 91.7KP は健全と , 200 ml/15 秒を下回る廃道は均等詰まりと診断された結果となり良く一致した。 60.8KP については , 現場透水量が 828 ml/15 秒と空隙詰まり程度が顕著ではなく , 「やや上詰まり」「上詰まり」と診断され3つの評価は一致した。また , 62.2KP については , 電磁波判定が「下詰まり」と診断し , IV目視観察及び判定の「上詰まり」と異なる結果となっているが , 図 6 から電磁波の診断が均等詰まりに近い下詰まりであることから「均等」と判断でき , 詰まり程度の傾向は特徴を捉えていると考えられる。しかし ,63.6KP は現場透水量が 466 ml/15 秒と低く均等詰まりの進行にも係わらず ,電磁波は「健全」 , 超音波は「やや上詰まり」と診断しているが , この原因はIV状況から判断すると , 空隙詰まり以外に骨材が噛み合ったことで連続空隙が確保しずらい状態になっていると考えられる。

3. まとめと今後の課題

舗装体内部の空隙詰まり状態は、電磁波や超音波による複数の周波数を用いることで、均等詰まりの診断が可能となった。室内試験では上層と下層の詰まり状態を区分できたが、現地試験では極端な詰まり箇所のデータが無かったため、今後は上・下層の詰まり状況を診断するためデータ蓄積を行っていく予定である。